

# مدل سازی یک سیستم جاذب انرژی باد اینولوکس با ترکیب نتایج حل عددی در بستر نیمه تحلیلی

سعید کربیان علی آبادی \* (استادیار)

ساختر رضایی (دانشجوی کارشناسی ارشد)

دانشکده هنری مهندسی مکانیک دانشگاه تربیت مدرس

مهمشی مکانیک شریف، پذیرش ۱۴۰ (پژوهشی)  
دوری ۳۷-۸۰، شماره ۱۰، ص. ۳۲۷-۳۶۰، (پژوهشی)

در این تحقیق، تولید شبکه و شبیه سازی جریان سه بعدی در سیستم جاذب انرژی باد اینولوکس، یکی از سامانه های نوین انرژی باد، به صورت عددی بررسی شده است. از نتایج حل عددی، در بستر نیمه تحلیلی (مدل آبودینامیک شبه پایا) به منظور مدل سازی و تخمین مشخصه های عملکردی سیستم مذکور استفاده شده و با ایجاد یک جفت سازی خارج از خط (کویلینگ آفلاین)، نتایج حاصل از حل عددی به عنوان ورودی های کد تحلیلی BIM به کار رفته است. یک توربین باد بهینه اختصاصی برای به کارگیری در بخش ونتروی سیستم اینولوکس، طراحی و ارائه شده است. با به کارگیری ضرایب تصحیح نوک پره و تصحیح توپی پرانتل و نیز ضرایب اصلاح دنباله ای برتون و گلوارت، به منظور پوشش اثرات سه بعدی، رفتار ضرایب توان و ضرایب نیرو ارائه شده است. یک مطالعه جامع بر حسب لامبدا (نسبت سرعت نوک پره) و طول بی بعد پره نیز صورت گرفته است. نتایج اعتبارسنجی هر دو شبیه سازی حل عددی و تحلیلی نشان می دهد که هر دو شبیه انتخاب شده، با داده های مرجع مطابقت دارند. بر پایه هی همین دستاوردها می توان مشاهده کرد که سیستم جاذب انرژی باد اینولوکس قادر است سرعت جریان را در بخش ونتروی به میزان حدود ۷۰ درصد افزایش دهد و انرژی بیشتری از داکت و شرود فراهم سازد. با هدف مقایسه ضرایب تصحیح دنباله ای آشتفته، بر اساس نتایج کد توسعه داده شده، اختلاف مدل برتون و مدل گلوارت در تخمین ضرایب توان همواره از ۱۵ درصد کمتر است.

karimian@modares.ac.ir  
saberrezayi@modares.ac.ir

وازگان کلیدی: انرژی باد، سیستم اینولوکس، حل عددی، کد نیمه تحلیلی، تصحیح پرانتل، ضرایب تصحیح دنباله.

## ۱. مقدمه

جریان را در بخش ورودی اینولوکس تأمین می کند، دوماً جریان خروجی از بخش انتهایی اینولوکس باید با آن هماهنگ باشد. مفهوم اینولوکس توسط علابی و اندرتوپولوس<sup>[۱,۲]</sup> مطرح شد. این طرح ادعا می کند که با کاهش هزینه های نصب و نگهداری توربین های بادی مرسوم، تحول عظیمی در صنعت انرژی باد ایجاد کرده است.

علایی و همکارانش<sup>[۳]</sup> همچنین توربین های بادی متواالی در سیستم توربین بادی اینولوکس را با استفاده از روش تجربی بررسی کردند و دریافتند که در مقایسه با حالتی که فقط یک توربین در سیستم جاذب انرژی باد اینولوکس قرار دارد، بازده سیستم برای دو توربین به میزان ۵۲ درصد و برای سه توربین به میزان ۷۲ درصد افزایش می یابد. صداقت و همکارانش<sup>[۴]</sup> برای توربین های پوشش دار سه محفظه ای توخالی به شکل های استوانه ای، نازل مانند و دیفووزر مانند به صورت سه بعدی طراحی کرده و سپس آن ها را برای جریان های خارجی افقی و عمودی، به صورت تحلیلی و عددی مورد بررسی قرار دادند. در این تحقیق برای محفظه ای نازل مانند مشاهده شد که در قسمت ورودی نازل به علت ایجاد یک ناحیه

طراحی پره های توربین های بزرگ و متداول امروزی هم از نظر آبودینامیکی و هم از نظر مکانیکی کاری دشوار و پیچیده است و از طرفی تعمیر و نگهداری آن ها هزینه بسیاری را تحمیل می کند. در صورتی که پره های توربین به کار رفته در سیستم جاذب انرژی باد اینولوکس در دسترس تر است و چون ابعاد کوچک تری دارند، تعمیر و نگهداری آن ها نیاز به صرف انرژی و هزینه ی چندانی نخواهد داشت. شبیه سازی عملکرد سیستم اینولوکس به دلیل اثر متقابل بدنه هی سیستم، جریان باد و پره های توربین، نسبتاً پیچیده بوده و همچون بسیاری از مسائل مهندسی نیازمند دینامیک سیالات محاسباتی<sup>[۵]</sup> است. اخیراً مطالعات گستردگی در مورد مدل سازی و تحلیل جریان باد داخل اینولوکس و همچنین میدان جریان خارجی حول این سیستم صورت گرفته است. تحلیل جریان خارجی حول سیستم اینولوکس دقیقاً همانند جریان داخل آن اهمیت دارد چرا که اولاً

\* نویسنده مسئول  
تاریخ: دریافت ۲۵ آگوست ۱۴۰۰، اصلاحیه ۲۸، ۱۰، پذیرش ۲۴ آگوست ۱۴۰۰، پذیرش ۱۲، DOI:10.24200/J40.2020.59289.1626

## ۲. معادلات حاکم

### ۱.۲. معادلات حاکم بر نظریه‌ی BIM

نظریه‌ی BIM از تلفیق دو روش نظریه‌ی المان پره و نظریه‌ی تکانه به دست آمده است. در نظریه‌ی مومنتوم یک بعدی توربین بادی به عنوان یک دیسک محرك یعنی با تعداد نامحدودی پره در نظر گرفته می‌شود. جریان حول این دیسک عملگر همگن، تراکم ناپذیر و پایا بوده و چون دیسک عملگر ثابت در نظر گرفته می‌شود، پس مؤلفه سرعت چرخشی در دنباله جریان وجود ندارد.

همچنین فرض می‌شود حجم معیار جریان در پایین دست بالا دست صفحه روتورسیترش یافته است. علاوه بر آن، هیچ نیروی خارجی بر سیال در بالا دست و پایین دست جریان اعمال نمی‌شود پس فشار استاتیکی بازیابی شده به فشار جریان آزاد می‌رسد. تنها نیروی تولید شده در صفحه روتورسی نیروی پیشرانه است که از افت اندازه حرکت حاصل می‌شود و در تمام سطح دیسک یکنواخت است. جریان گذرنده از صفحه روتورسی تنها نیروی توربین بادی در شکل ۱ آورده شده است. در نهایت می‌توان با استفاده از قانون بنولی، نیروی پیشران را مطابق رابطه‌ی ۱ استخراج کرد:

$$T = \frac{1}{2} \rho A U_{\infty}^2 [4a(1-a)] \quad (1)$$

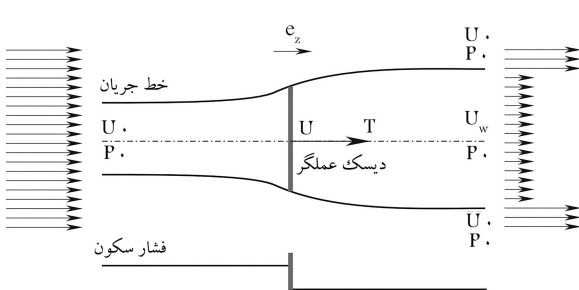
که در آن  $a$  ضریب القابی محوری است. برخلاف مفهوم دیسک عملگر، در نظریه‌ی اندازه حرکت، اندازه حرکت زاویه‌ی بادی ایجاد شده توسط دیسک عملگر چرخشی است که به آن گشتاور گفته می‌شود. جریان پشت روتوسی نیز که مخالف جهت چرخش روتورسی چرخد، چرخش دنباله می‌نمند. اگر انرژی جنبشی مورد نیاز جهت چرخش دنباله از انرژی به دست آمده از دیسک عملگر کم شود، پس کار مفید کاهش می‌باشد. چرخش دیسک عملگر مؤلفه‌ی مماسی را به وجود می‌آورد. تراست در یک المان حلقوی را می‌توان توسط معادله‌ی ۲ نشان داد.

$$dT = \frac{1}{2} \rho \Omega^2 r^3 [4a'(1+a')] (2\pi r dr) \quad (2)$$

که در آن  $a'$  ضریب القابی مماسی بوده و به صورت  $\frac{a'}{2} = a'$  تعریف می‌شود. سرعت زاویه‌ی چرخش روتوسی  $\Omega$  سرعت زاویه‌ی چرخش جریان است. با استفاده از قانون بقای تکانه زاویه‌ی گشتاور روتوسی و توان تولیدی را می‌توان به صورت زیر به دست آورد.

$$dQ = 4\pi \rho U_{\infty} a' (1-a) \Omega r^3 dr \quad (3)$$

$$dP = \frac{1}{2} \rho A U_{\infty}^2 \left[ \frac{\lambda}{\lambda'} a' (1-a) \lambda_r^3 d\lambda_r \right] \quad (4)$$



شکل ۱. شماتیک یک بعدی حجم کنترل انتخابی در اطراف یک روتوسی.

پرسنل، سرعت جریان دچار کاهش شده است که با نتایج آزمایشگاهی همخوانی دارد. پاتیل و همکارانش<sup>[۶]</sup> یک سیستم اینولوکس را در ابعاد کوچک‌تر طراحی کرده و ساختند. هدف اصلی آنان بررسی و انتخاب یک ماده مناسب برای ساخت بدنه‌ی سیستم اینولوکس است. آن‌ها به این نتیجه رسیدند که اگر بدنه‌ی اینولوکس از فیبرهای پلاستیکی تقویت شده ساخته شود توان خروجی سیستم بیشترین مقدار خواهد بود ولی به دلیل برخی معایب، با وجود کمتر شدن توان خروجی در حالت استفاده از فولاد نرم، می‌توان به جای فیبرهای پلاستیک تقویت شده از فولاد نرم استفاده کرد.

اکور و باتاینه<sup>[۷]</sup> پارامترهای مؤثر در طراحی اینولوکس را به منظور دستیابی به یک طراحی بهینه برای افزایش سرعت در بخش ونتوری به صورت عددی و با مدل‌سازی سه بعدی مورد بررسی و تحلیل قرار داده و در نهایت طراحی بهینه‌ی برای این سیستم ارائه کرده‌اند. نتایج نشان می‌دهد که بیشترین سرعت در بخش ونتوری زمانی حاصل می‌شود که بدنه‌ی سیستم اینولوکس با چهت باد زاویه‌ی بین ۴۵ تا ۴۵ درجه داشته باشد. بهات و همکارانش<sup>[۸]</sup> با کاهش قطر بخش ونتوری اینولوکس و استفاده از سه پره توربین داخل بخش ونتوری، به بررسی عملکرد و توان خروجی سیستم به روش عددی و با استفاده از مدل‌سازی سه بعدی پرداختند. آن‌ها دریافتند که اگر قطر بخش ونتوری سیستم اینولوکس موجود را به یک مقدار بهینه کاهش دهند، سرعت جریان در توربین‌های دوم و سوم و در نتیجه توان خروجی این توربین‌ها افزایش می‌یابد.

صنعت انرژی باد همچنان می‌باشد بر اساس هزینه با منابع تولیدی مرسوم رقابت کند. اگرچه هزینه‌ی انرژی باد در چند دهه گذشته به طرز چشمگیری کاهش یافته است اما پروژه‌های بادی باید بتوانند از نظر اقتصادی با کمترین هزینه برای تولید برق رقابت کنند. هرچه مدل‌سازی توربین‌های بادی با دقت بیشتری انجام پذیرد، این رقابت سودمندتر خواهد بود. اساس مدل‌سازی توربین‌های بادی نظریه‌ی BIM است که توسط گلاؤارت<sup>[۹]</sup> ارائه شده است.

هسیانو و همکارانش<sup>[۱۰]</sup> سه مدل مختلف از توربین‌های بادی محور افقی را مورد بررسی قرار دادند و دریافتند که توربین باد با پره‌هایی با توزیع وتر و زاویه‌ی پیچش بهینه شده بیشترین ضریب توان را تولید می‌کند. کربیان و همکارانش<sup>[۱۱-۱۲]</sup> با استفاده از نظریه‌ی BIM به بررسی و مدل‌سازی عملکرد توربین‌های بادی مختلف در شرایط پایا و نایابا پرداختند و نشان دادند که نظریه‌ی BIM توانایی قابل توجهی در این خصوص دارد. طحانی و همکارانش<sup>[۱۳]</sup> با استفاده از نظریه‌ی BIM و پس از خطی‌سازی توزیع وتر و زاویه‌ی پیچش، نتیجه گرفتند که ۶۰ تا ۶۴ درصد وتر و ۳۰ تا ۳۷ درصد پره بهترین نقاط برای اعمال خطی‌سازی هستند.

در پژوهش حاضر با تأکید بر استفاده از هر دو بستر عددی و تحلیلی، به مدل‌سازی و بررسی پارامتری سیستم جاذب انرژی بادی اینولوکس و نیز توربین بادی تعیینه شده در بخش ونتوری آن پرداخته شده است. ترکیب دو بستر عددی و تحلیلی در این مطالعه به صورت خارج از خط آفلاین صورت گرفته است. بدین معنی که در ابتدا هندسه سیستم اینولوکس و جریان عبوری از آن به وسیله حل عددی مدل شده و خروجی‌های این حل به عنوان ورودی‌های کد نیمه‌تحلیلی نظریه‌ی BIM در نظر گرفته شده‌اند. سپس با استفاده از نتایج حاصل از نظریه‌ی مذکور به بررسی تأثیر ضرایب مختلف اصلاح نظریه‌ی BIM و تغییرات پارامترهای آیرودینامیکی بر حسب سرعت نوک پره و نیز در راستای پره پرداخته شده است.

جدول ۱. مدل‌های گلوآرت و برتون برای تصحیح دنباله آشفته.

مدل	ضریب القایی محوری پیشran اصلاح شده	ضریب نیروی بحرانی
گلوآرت [۴]	$\frac{4a}{\Omega} \left( 1 - \frac{(5-2a)}{\Omega} \right) F$	$0,2^{\circ}$
برتون و همکاران [۱۷]	$1,816 - 4 \left( \sqrt{1,816} - 1 \right) (1-a)$	$0,3262^{\circ}$

پس از این که نظریه‌های تکانه و المان پره به طور کامل تشریح شدند، حال می‌توان آنها را ترکیب و روابط مورد نیاز را استخراج کرد. به این ترتیب که نیروی پیشran به دست آمده برای هر کدام از المان‌های حلقوی در راستای پره توسط نظریه‌ی تکانه و نظریه‌ی المان پره با هم برابر قرار می‌گیرند. حال می‌توان با استفاده از روابط ۸ تا ۱۰ به محاسبه‌ی نیروی پیشran، گشتاور و توان پرداخت:

$$T = B \sum_{i=1}^N F_{n_i} \quad (8)$$

$$Q = B \sum_{i=1}^N F_{t_i} r_i \quad (9)$$

$$P = \Omega B \sum_{i=1}^N F_{t_i} r_i = \Omega Q \quad (10)$$

## ۲. معادلات حاکم بر سیستم اینولوکس

از آن جاکه در سیستم جاذب ارزی باد اینولوکس فیزیک مسئله با آنچه در تورینهای بادی متداول متصور می‌شود تفاوت دارد، بنابراین لازم است در بررسی این سیستم برخی ملاحظات نظری اضافه شود. لذا معادلات بقای جرم و ارزی و معادلات مومنتوم خطی و زاویه‌ی بروی یک حجم کنترل برای میدان سیال غیر لزج، تراکم ناپذیر و متقاضی به فرم انتگرالی و به صورت زیر خواهد بود.<sup>[۲۱]</sup>

$$\oint_A \rho V \cdot dA = 0 \quad (11)$$

$$\oint_A u_z \rho V \cdot dA = T - \oint_A P dA \cdot e_z \quad (12)$$

$$\oint_A \rho V \cdot dA = 0 \quad (13)$$

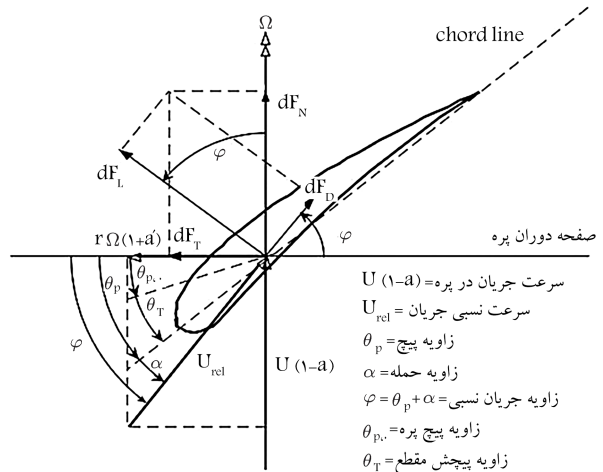
$$\oint_A r u_\theta \rho V \cdot dA = Q_T \quad (14)$$

$$\oint_A \left[ \frac{P}{\rho} + \frac{1}{2} \|V\|^2 \right] \rho V \cdot dA = P \quad (15)$$

که در این معادلات  $(u_r, u_\theta, u_z) = V$  بردار سرعت،  $r$  شعاع،  $A$  بردار مساحت که در این معادلات  $(u_r, u_\theta, u_z) = V$  بردار سرعت،  $r$  شعاع،  $A$  بردار مساحت سطح کنترل،  $\rho$  چگالی هوا،  $e_z$  محور  $Z$ ها،  $P$  فشار،  $T$  نیروی محوری،  $Q_T$  گشتاور و  $P$  توان استحصال شده توسط پره است. در شکل ۳ مدل یک بعدی جریان عبوری از بخش ونوری سیستم جاذب ارزی باد اینولوکس و محل دقیق فراگیری تورینهای در این بخش از سیستم نشان داده شده است.

اگر سرعت متوسط باد قبل از پره برابر  $U$  در نظر گرفته شود، با توجه به معادله‌ی بقای جرم با عبور جریان از کانال با سطح مقطع ثابت، سرعت بدون تغییر باقی می‌ماند.

از آن جاکه آنتالپی دبی جرمی جریان آزاد برابر  $\frac{P}{\rho}$  است، لذا جریان



شکل ۲. جزئیات نیروهای آیرودینامیکی وارد بر پره.<sup>[۱۶]</sup>

که  $\lambda_r = \frac{\Omega r}{U_\infty}$  نسبت سرعت نوک پره محلی و  $\lambda = \frac{\Omega R}{U_\infty}$  نسبت سرعت نوک پره هستند.

برای در نظر گرفتن مشخصات هندسی پره، از نظریه‌ی المان پره استفاده می‌شود که در آن پره روتور به تعداد معینی المان در راستای دهانه بال تقسیم می‌شود و فرض براین است که هیچ برهمنکش آیرودینامیکی بین المان‌ها وجود نداشته باشد. در نهایت با انتگرال‌گیری در راستای پره می‌توان نیرو و ممان کل وارد بر پره را به دست آورد. تحلیل نیروهای آیرودینامیکی وارد بر پره در شکل ۲ آورده شده است. با فرض تعداد مشخصی المان روی هر پره، نیروی پیشran و گشتاور وارد بر هر المان نیز چنین محاسبه خواهد شد:

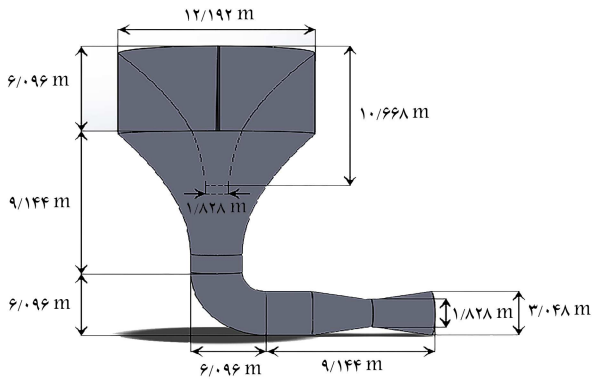
$$dQ = \sigma \pi \rho \frac{(1-a)^2 U_\infty^2}{\sin^2 \phi} (C_L(\sin \phi) - C_d(\cos \phi)) r dr \quad (5)$$

$$dT = \sigma \pi \rho \frac{(1-a)^2 U_\infty^2}{\sin^2 \phi} (C_L(\cos \phi) + C_d(\sin \phi)) r dr \quad (6)$$

گرداهای نوک بال برای یک روتور با تعداد پره محدود، متفاوت از یک روتور با تعداد پره بی‌نهایت است. با در نظر گرفتن تعداد پره محدود و اعمال حضور گرداهای نوک هر پره، نیرو و گشتاور باید تعديل شوند. در واقع اصلاح پرانتل اثر عدم پیوستگی دیسک دوران را لحاظ می‌کند. ضریب اصلاح پرانتل به صورت زیر تعریف می‌شود:

$$F = \left[ \frac{2}{\pi} \cos^{-1} \left( e^{-\frac{B}{r} \frac{R-r}{r \sin(\phi)}} \right) \right] \left[ \frac{2}{\pi} \cos^{-1} \left( e^{-\frac{B}{r} \frac{r-R_{h,u,b}}{r \sin(\phi)}} \right) \right] \quad (7)$$

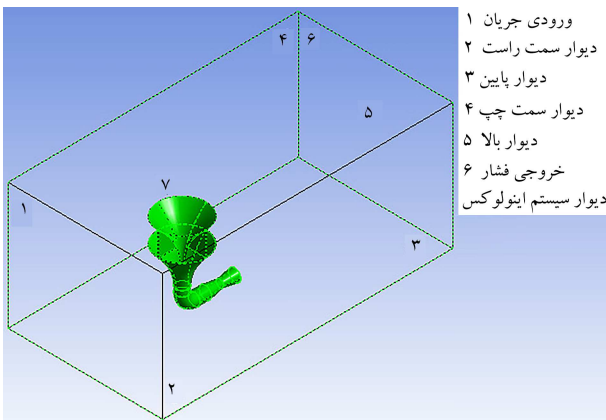
برای مقادیر ضریب القایی محوری بزرگ‌تر از  $5^{\circ}$  نظریه‌ی تکانه بی‌اعتبار شده و نمی‌تواند پیش‌بینی درستی از ضریب نیروی پیشran تورینهای باد ارائه دهد. بنابراین نیاز است که اصلاحاتی به روابط به دست آمده اعمال شود. برای این منظور روابطی توسط گلوآرت<sup>[۴]</sup> و برتون<sup>[۱۷]</sup> ارائه شده که در جدول ۱ آورده شده است.



شکل ۴. ابعاد سیستم اینولوکس.

جدول ۲. مشخصات هندسی سیستم جاذب انرژی باد اینولوکس.

نام	ابعاد (متر)	پارامتر
$D_{Funnel,Upper}$	12.19	قطر بالایی قیمتی
$H$	21.34	ارتفاع کل
$H_{Funnel}$	10.67	ارتفاع قیمتی
$D_{Funnel,Lower}$	1.83	قطر پایینی قیمتی
$H_{Inlet}$	6.1	ارتفاع ورودی
$D_{Venturi}$	1.83	قطر ونتوری
$D_{Outlet}$	3.05	قطر خروجی

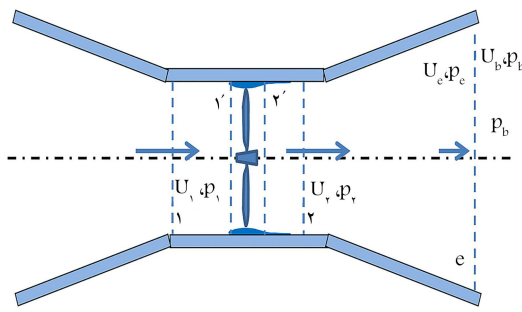


شکل ۵. دامنهٔ حل مسئله (ابعاد به متر هستند).

شبکه تولید شده در نزدیکی دیوارهای کوچک‌تر باشد تا حل عددی از اعتیار بیشتری برخوردار شود. در شکل ۵ دامنهٔ حل مسئله و در شکل ۶ نمایی از شبکه‌ی ایجاد شده ارائه شده است.

برای هندسه مذکور، مناسب‌ترین شبکه‌بندی پس از بررسی استقلال از شبکه در حالتی خیلی دهد که تعداد سلول‌ها برابر  $10^{180 \times 37}$  باشد. با انتخاب این شبکه هزینهٔ حل عددی برای دستیابی به مناسب‌ترین نتیجه کمینه می‌شود.

همچنین شرط مرزی سرعت در ورودی، شرط مرزی فشار (فشار خروجی برابر فشار اتسپر در نظر گرفته شده است) و شرط مرزی دیوار برای سایر بخش‌های هندسه طراحی شده برای سیستم توربین بادی اینولوکس در نظر گرفته شده است. در هندسه‌ی طراحی شده فاصلهٔ دیوارهای اطراف سیستم جاذب انرژی باد اینولوکس، به جز دیوار پائینی، بهگونه‌ی انتخاب شده که تأثیری بر جریان باد نداشته باشند.



شکل ۳. مدل یک بعدی محل قرارگیری توربین و جریان عبوری از بخش ونتوری اینولوکس.<sup>[۲]</sup>

باد به عنوان منبع انرژی، نه تنها شامل انرژی جنبشی بلکه شامل انرژی پتانسیل هم هست. این انرژی واحد جریان پس از ورود به سیستم، با مقداری افت، که در لحظه می‌توان از آن صرف نظر کرد، به موقعیت بالا درست جریان پس از رسید. جریان داخل کanal، شامل سه بخش متغیرکننده، ونتوری و دیفیوزر، می‌تواند به عنوان جریان داخل یک نازل - دیفیوزر در نظر گرفته شود که در آن گواگاه نازل دقیقاً جایی است که پرۀ قرار دارد و سطح مقطع آن برابر  $A^*$  است؛  $A^* = A_1 - A_T$  مساحت  $A_T$  است؛ تصویر شده‌ی پره‌ها روی صفحه‌ی عمود بر جهت جریان است.

توان به دست آمده توسط پره، با معادله  $P = \int_A \left[ \frac{P}{\rho} \right] \rho V \cdot dA$  بیان می‌شود. مقدار متوسط  $\frac{P}{\rho}$  در طول کanalی با سطح مقطع  $A_1$  توسط رابطه‌ی  $P = \int_A \left[ \frac{P}{\rho} \right] \rho V \cdot dA$  مشخص می‌شود که در آن  $m$  دبی جرمی جریان در طول سیستم انتقال باد اینولوکس است. در نتیجه مقدار توان مطابق معادله ۱۶ به دست می‌آید:

$$P = \left( \left[ \frac{P}{\rho} \right]_1 - \left[ \frac{P}{\rho} \right]_2 \right) \dot{m} \quad (16)$$

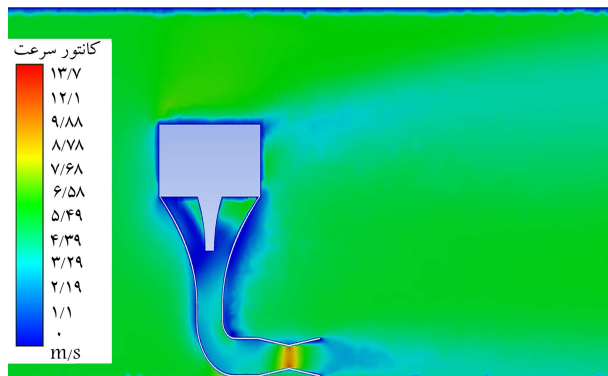
### ۳. پیاده‌سازی حل عددی

#### ۱.۳. معرفی هندسه سیستم اینولوکس

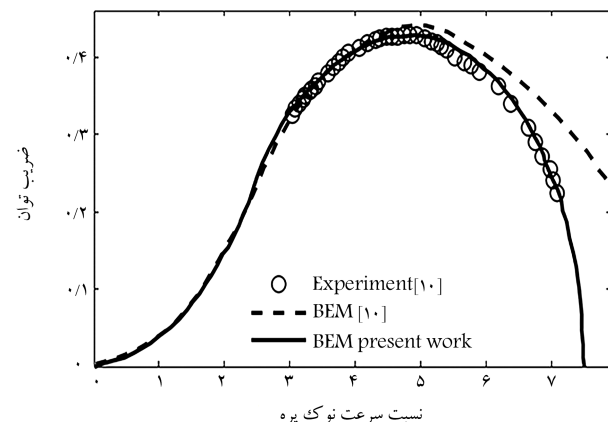
شکل ۴ ابعاد هندسه سه بعدی سیستم توربین بادی اینولوکس مورد مطالعه را نشان می‌دهد. ابعاد واقعی هندسه نیز در جدول ۲ آورده شده است. همان‌گونه که در شکل ۴ ملاحظه می‌شود، سیستم توربین بادی اینولوکسی طوری طراحی شده است که جریان باد را از تمام جهات، یعنی در یک دامنه  $360^\circ$  درجه‌ی، جذب می‌کند و بنابراین نیازی به تنظیم مستقیم یا غیرمستقیم جهت پره‌های توربین به سمت جهت وزش باد نیست. علاوه بر این، چهار پره‌ی هدایت‌کننده در ورودی سیستم جاذب انرژی باد اینولوکس وجود دارد که وظیفه آن‌ها کنترل و هدایت جریان باد ورودی به سیستم است. جریان باد جذب شده توسط ورودی سیستم جاذب انرژی باد اینولوکس، به سمت پایین منتقل شده و پس از عبور از یک زانویی، در بخش ونتوری به پره‌های توربین یا توربین‌های تعییه شده در سطح زمین و داخل کanal افقی سیستم توربین بادی اینولوکس، تابیده می‌شود.

#### ۲. شبکه‌بندی مسئله، استقلال از شبکه و شرایط مرزی

در مطالعه‌ی حاضر به دلیل پیچیدگی و سه بعدی بودن هندسه، از شبکه‌بندی بدون ساختار استفاده شده است. به منظور افزایش دقت مدل‌سازی عددی و بررسی هرچه دقیق‌تر جدایش جریان در نزدیکی دیوارهای و اثرات آن، سعی شده است که



شکل ۷. کانتور سرعت برای سرعت جریان ورودی ۶/۷۱ متر بر ثانیه.



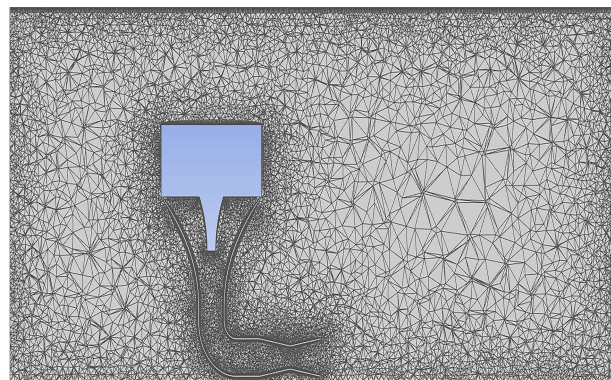
شکل ۸. مقایسه‌ی ضریب توان بر حسب لامبدا برای کار حاضر با نتایج موجود.<sup>[۱۰]</sup>

توربین‌های بادی نام برد. در واقع جریان باد داخل سیستم جاذب انرژی باد اینولوکس و در یک بخش ونتوری مانند، شتاب می‌گیرد و سرعتش افزایش پیدا می‌کند. بنابراین جریان بادی که توسط پره‌های توربین تعیینه شده داخل سیستم جاذب انرژی باد اینولوکس حسن می‌شود، سرعت بیشتری نسبت به جریان آزاد باد خواهد داشت و همین امر سبب می‌شود که بازدهی سیستم جاذب انرژی باد اینولوکس نسبت به توربین‌های امروزی بیشتر باشد. در نتیجه از این سیستم می‌توان حتی در مناطقی که سرعت وزش باد در آن‌ها پایین است، استفاده کرد.

#### ۴. پیاده‌سازی کد نیمه‌تحلیلی

##### ۴.۱. اعتبارسنجی کد نیمه‌تحلیلی

به منظور اعتبارسنجی کد متلب BIM، از هندسه و نتایج تجربی و تحلیلی (حاصل از نظریه BIM) حاصل از بررسی محققان پیشین<sup>[۱۰]</sup> استفاده شده است. هندسه در نظر گرفته شده برای این منظور، توربین بهینه شده توسط رفنسن مذکور است که دارای قطر ۰/۷۲ متر، ۳ پره، توان نامی ۵۰ وات و لامبدا ۵ در نقطه طراحی است. در شکل ۸ مقایسه‌ی نتایج ضریب توان بر حسب سرعت نوک پره BIM طراحی شده در کار حاضر، با در نظر گرفتن تأثیر ضرایب اصلاح نوک پره و توپی پلاتل و نیز تصحیح گلواارت، با نتایج تجربی و تحلیلی موجود<sup>[۱۰]</sup> ارائه شده که نشان‌دهنده‌ی تافق قابل ملاحظه‌ی نتایج است.



شکل ۹. نمای روی رویی از شبکه ایجاد شده برای سیستم جاذب انرژی باد اینولوکس.

جدول ۳. مقایسه نتایج کار حاضر با مقاله<sup>[۱۰]</sup> به منظور اعتبارسنجی حلگر.

علایی و اندرئوپولوس <sup>[۱۰]</sup> کار حاضر	
کیفیت شبکه	علایی
سرعت باد ورودی (m/s)	۶/۷۱
سرعت در ونتوری (m/s)	۱۰/۸۴۵
نسبت سرعت	۱/۶۱۶۲
درصد خطای نسبی	۲/۳۱

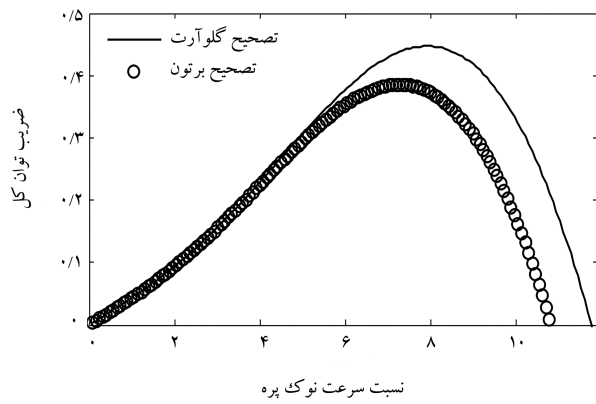
#### ۳.۳. اعتبارسنجی حل عددی

برای اعتبارسنجی حل‌گری که به منظور شبیه‌سازی عددی جریان در سیستم توربین بادی اینولوکس مورد استفاده قرار گرفته است، در ابتدا شرایط مسئله مطابق آنچه در مقاله علایی و اندرئوپولوس<sup>[۱۰]</sup> آورده شده است، در نظر گرفته شد. در این مقاله سرعت جریان باد ثابت و برابر ۶/۷۱ متر بر ثانیه و خلاف جهت مثبت محور  $Z$  در نظر گرفته شده است و ابعاد هندسی سیستم جاذب انرژی باد اینولوکس طراحی شده با آنچه در کار حاضر آورده شده یکسان است. مقایسه‌ی نتایج حاصل از کار حاضر در بهترین حالت شبکه‌بندی و مقاله<sup>[۱۰]</sup> برای میانگین سرعت جریان باد در بخش ونتوری و همچنین نسبت سرعت در جدول ۳ آورده شده است.

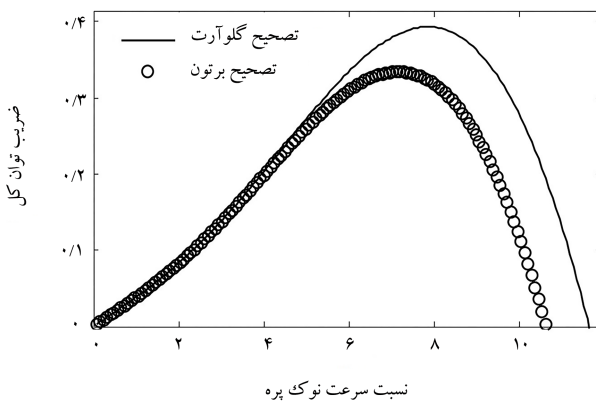
چنان‌که ملاحظه می‌شود، نتایج حاصل از کار حاضر با دقت بسیار بالای و با حدود ۲ درصد خطای نسبی با نتایج حاصل از مدل با کیفیت عالی<sup>[۱۰]</sup> مطابقت دارد.

#### ۴.۳. نتایج حل عددی

حال که هندسه سیستم جاذب انرژی باد اینولوکس و شرایط مرزی حاکم بر مسئله به طور کامل مشخص شد و اعتبارسنجی حل‌گر عددی نیز انجام شد، می‌توان با استفاده از بستر حل عددی، سرعت جریان در محل ونتوری را برای سرعت‌های باد ورودی مختلف استخراج کرده و به عنوان پارامتر ورودی کد نیمه تحلیلی از آن بهره گرفت. با فرض سرعت جریان آزاد ۶/۷۱ متر بر ثانیه، متوسط سرعت جریان در مرکز بخش ونتوری برابر ۱۰/۸۴۵ متر بر ثانیه و نسبت سرعت جریان در ونتوری به سرعت جریان در ورودی برابر ۱/۶۶۱ به دست می‌آید. کانتور سرعت بادی سرعت جریان ورودی ۶/۷۱ متر بر ثانیه در شکل ۷ آورده شده است. ملاحظه می‌شود که سرعت جریان در بخش ونتوری به طور چشمگیری زیاد شده است. این افزایش سرعت نسبت به سرعت جریان آزاد هوا، باعث می‌شود که سیستم جاذب انرژی باد اینولوکس را بتوان به عنوان یک نوآوری مؤثر در حوزه‌ی



شکل ۱۰. ضریب توان بر حسب لامبدا برای تصحیح گلوآرت و برتون و با احتساب ضریب اصلاح نوک پره پرانتل.



شکل ۱۱. ضریب توان بر حسب لامبدا برای تصحیح گلوآرت و برتون و با فرض ضریب اصلاح نوک پره و توپی پرانتل.

### ۳.۴. مطالعه‌ی پارامتری بر حسب لامبدا

به منظور تحلیل پارامترهای ایرودینامیکی دخیل در توربین باد بر حسب لامبدا، پس از انجام فرایند استقلال از شبکه، ۱۰۰ المان روی هر پره فرض شده است. در شکل ۱۰ نموداری از مقایسه‌ی تغییرات ضریب توان بر حسب لامبدا برای دو حالت تصحیح دنباله آشفته گلوآرت و برتون و با در نظر گرفتن ضریب اصلاح نوک پره پرانتل برای هر دو حالت آورده شده است. چنان‌که ملاحظه می‌شود نمودار مربوط به تصحیح دنباله آشفته گلوآرت است و این بدان معناست که تصحیح برتون نتایج کمتری را نسبت به تصحیح گلوآرت برای ضریب توان پیش‌بینی می‌کند. بیشینه ضریب توان در تصحیح گلوآرت برابر  $457/0$  بوده و در لامبدا  $7/929$  رخ می‌دهد. در صورتی که بیشینه ضریب توان در تصحیح برتون برابر  $393/0$  بوده و در لامبدا  $7/194$  اتفاق می‌افتد.

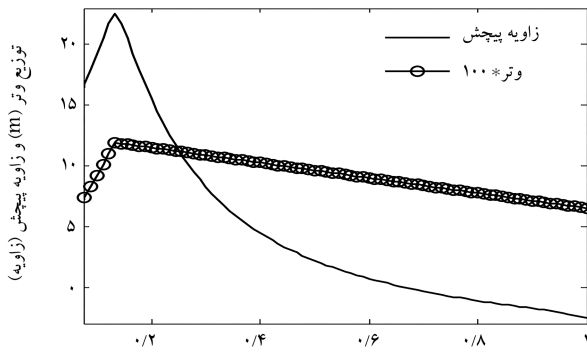
در شکل ۱۱ نمودار تغییرات ضریب توان بر حسب لامبدا برای دو تصحیح گلوآرت و برتون و با در نظر گرفتن ضریب اصلاح نوک پره و توپی پرانتل برای هر دو حالت آورده شده است. چنان‌که ملاحظه می‌شود، مقدار بیشینه ضریب توان نسبت به حالتی که فقط ضریب اصلاح نوک پره اثر داده شده است، به علت افت ناشی از اعمال ضریب اصلاح بخش توپی کاهش یافته است. در این حالت بیشینه ضریب توان در حالت تصحیح گلوآرت برابر  $3813/0$  بوده و در لامبدا  $7/876$  رخ می‌دهد. در صورتی که بیشینه ضریب توان در تصحیح برتون

جدول ۴. اطلاعات مربوط به توربین مرجع.<sup>[۱۸]</sup>

مشخصه	مقدار
تعداد پره	۳
طول هر پره	$8192/0$ متر
قطر روتور	$7336/1$ متر
قطر توپی	$952/0$ متر

جدول ۵. اطلاعات ایرفویل NREL-S822 در عدد رینولدز  $5e5$ .<sup>[۲۰]</sup>

مشخصه	مقدار
$N_{crit}$	۹
$(C_L/C_D)_{max}$	$14.7/9$
$\alpha_{opt}$	$75/50$
$C_{L,\alpha_{opt}}$	$8582/0$
$C_{D,\alpha_{opt}}$	$90090/0$



الف) توزیع وتر و توزیع زاویه‌ی پیچش بهینه در راستای پره؛



ب) شمای کلی پره طراحی شده با مقطع NREL-S822.

شکل ۹. نمودار توزیع وتر و زاویه‌ی پیچش بهینه و شمای کلی پره طراحی شده.

### ۲.۴. هندسه‌ی پره‌های توربین

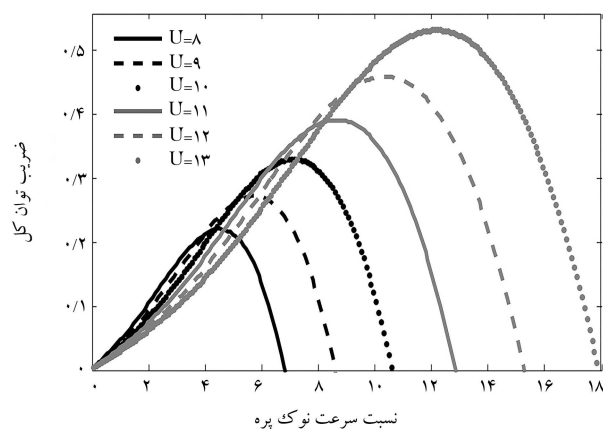
مشخصات مربوط به توربین طراحی شده به منظور بهره‌گیری در بخش ونتوری سیستم اینولوکس با توجه به نتایج ارائه شده توسط دسموح و همکارانش،<sup>[۱۸]</sup> که از طریق بستر حل عددی به طراحی توربین برای سیستم اینولوکس پرداخته بودند، در نظر گرفته شده است. این اطلاعات در جدول ۴ گزارش شده‌اند.

تاجیر و سومرز<sup>[۱۹]</sup> برای پره‌های با طول زیر ۵ متر، ایرفویل NREL-S822 را پیشنهاد کردند که به علت طول کم پره‌ها در این مقاله از همین ایرفویل برای تمام مقاطع پره (به جز بخش توپی که از ایرفویل دایروی برای آن استفاده شده) بهره گرفته شده است. در جدول ۵ داده‌های مربوط به ایرفویل NREL-S822 در عدد رینولدز  $5e5$ <sup>[۲۰]</sup> محدوده‌ی عملکردی توربین کار حاضر با توجه به سرعت جریان باد و هندسه‌ی پره‌ها است، آورده شده‌اند.

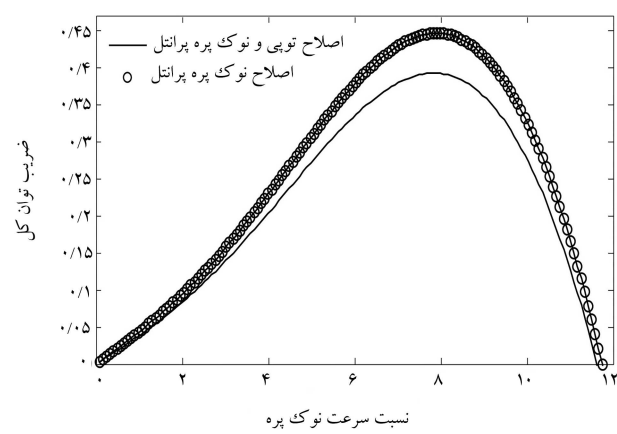
در نهایت نمودار توزیع وتر و زاویه‌ی پیچش بهینه و نیز شمای کلی پره‌های طراحی شده به صورت شکل ۹ به دست می‌آید.

جدول ۶. ضریب توان بیشینه برای دو تصحیح گلوآرت و برتون.

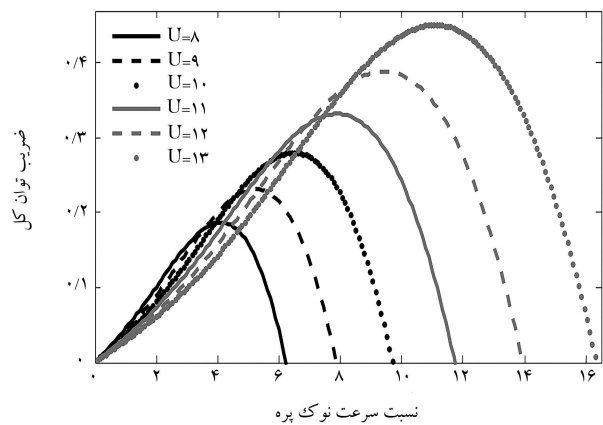
مدل	لامبدا در ضریب توان بیشینه	ضریب توان بیشینه
تصحیح گلوآرت و اثر اصلاح نوک پره	۰,۴۵۷	۷,۹۲۹
تصحیح گلوآرت و اثر اصلاح نوک پره و توپی	۰,۳۸۱۳	۷,۸۷۶
تصحیح برتون و اثر اصلاح نوک پره	۰,۳۹۳	۷,۱۹۴
تصحیح برتون و اثر اصلاح نوک پره و توپی	۰,۳۳۵	۷,۱۹۴



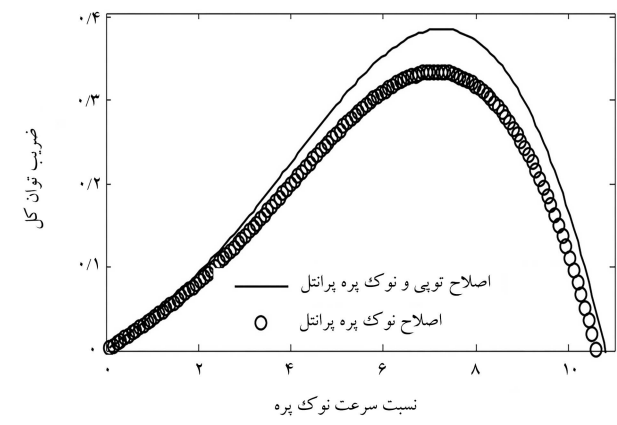
شکل ۱۴. ضریب توان بر حسب لامبدا برای سرعت‌های باد مختلف (متر بر ثانیه) و با فرض تصحیح گلوآرت و ضریب اصلاح نوک پره و توپی پرانتل.



شکل ۱۲. مقایسه‌ی ضریب توان بر حسب لامبدا برای ضریب اصلاح نوک پره و توپی پرانتل و با فرض تصحیح گلوآرت.



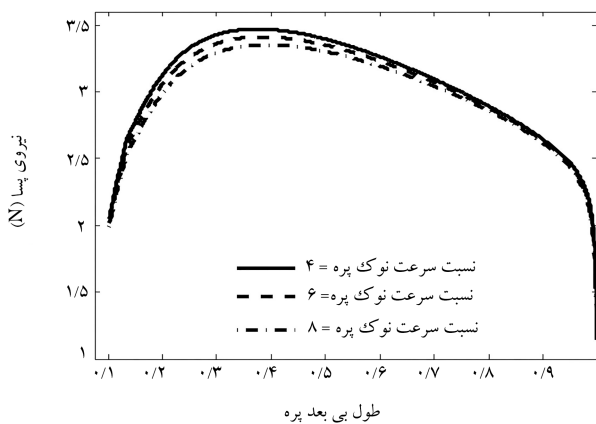
شکل ۱۵. ضریب توان بر حسب لامبدا برای سرعت‌های باد مختلف (متر بر ثانیه) و با فرض تصحیح برتون و ضریب اصلاح نوک پره و توپی پرانتل.



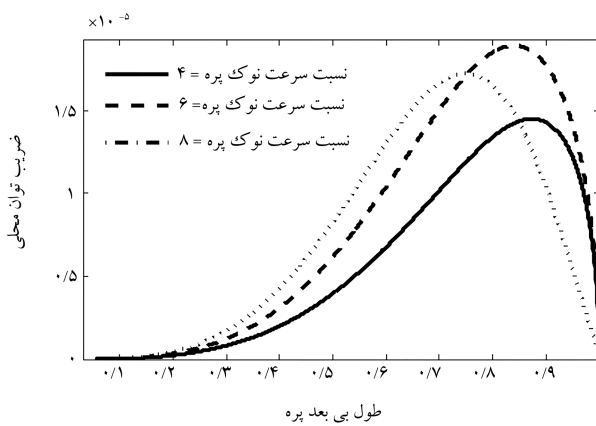
شکل ۱۳. مقایسه‌ی ضریب توان بر حسب لامبدا برای ضریب اصلاح نوک پره و توپی پرانتل و با فرض تصحیح برتون.

شده است. مشهود است که لامبدا بی که در آن بیشینه ضریب توان رخ می‌دهد در حالت‌های تصحیح گلوآرت و برتون و برای اثر ضریب اصلاح نوک پره و اثر ضریب اصلاح نوک پره و توپی تغییری ناچیز داشته است. در شکل‌های ۱۴ و ۱۵ مقایسه‌ی ضریب توان بر حسب نسبت سرعت نوک پره برای سرعت‌های باد مختلف به نظر گرفتن تصحیح گلوآرت و برتون و ضریب اصلاح نوک پره و توپی پرانتل برای تعداد پره ۳ آورده شده است. چنان‌که به وضوح ملاحظه می‌شود، با افزایش سرعت جریان بادی که به پره‌های توربین می‌تابد، مقدار ضریب توان بیشینه افزایش یافته و این ضریب توان بیشینه در لامبدا بیشتری رخ می‌دهد. داده‌های مربوط به مقدار ضریب توان بیشینه و نیز لامبدا متناظر در جداول ۷ و ۸ آورده شده است.

در جدول ۶ مقایسه‌ی ضریب توان برای دو تصحیح گلوآرت و برتون و اثر ضریب اصلاح نوک پره و اثر توام ضریب اصلاح نوک پره و توپی پرانتل آورده شده است. نمودار مربوط به ضریب توان بر حسب لامبدا برای ضریب اصلاح نوک پره و توپی پرانتل و با در نظر گرفتن تصحیح گلوآرت و برتون در شکل‌های ۱۲ و ۱۳ آورده



شکل ۱۶. نیروی پسا در راستای پره برای لامبدهای مختلف.



شکل ۱۷. ضریب توان در راستای پره برای لامبدهای مختلف.

راستای طول پره را برای این نقطه رسم کرد. با فرض  $50^{\circ}$  المان روی هر پره می‌توان به بررسی دقیق نحوه تغییرات کمیت‌های مختلف در راستای پره پرداخت. در شکل ۱۶ که در آن تغییرات نیروی پسا در راستای طول بی بعد پره برای لامبدهای مختلف آورده شده است، ملاحظه می‌شود که با افزایش لامبدا، نیروی پسا دچار کاهش می‌شود. ضمناً به وضوح قابل ملاحظه است که نیروی پسا در ابتدای پره صعودی بوده و پس از رسیدن به یک نقطه بیشنه در نقاط ابتدایی پره، نزولی می‌شود. افزایش نیروی پسا در نقاط ابتدایی در واقع به علت افزایش طول وتر (مطابق شکل ۹) در این نواحی است. همچنین چون نقاط ابتدایی پره در محدوده استال قرار دارند، بنابراین نیروی پسا در این نقاط نسبت به نقاط انتهایی پره بیشتر است.

در شکل ۱۷ نمودار ضریب توان در راستای پره برای لامبدهای مختلف دیده می‌شود. در ابتدا با افزایش لامبدا، مقدار بیشینه ضریب توان محلی افزایش یافته و از نوک پره دور می‌شود. اما با رسیدن به یک لامبدا مشخص روند تغییرات عکس می‌شود. همین روند درخصوص تغییرات ضریب توان بر حسب لامبدا نیز وجود داشت. با افزایش لامبدا، مقدار ضریب توان در ابتدا بیشتر شده و سپس پس از عبور از یک بیشینه موضعی، کاهش می‌یابد. همچنین با توجه به این که نقاط ابتدایی پره بیشتر در معرض استال قرار دارند، بنابراین سهم کمتری در تولید توان خواهند داشت. در نتیجه انتظار می‌رود که بیشینه ضریب توان در نقاط انتهایی پره اتفاق بیفتد.

نمودار نیروی برآ در راستای پره برای لامبدهای مختلف در شکل ۱۸ مشاهده

جدول ۷. ضریب توان بیشینه برای تصحیح گلوارت و با فرض اثر ضریب اصلاح نوک پره و توبی پرانتل برای سرعت‌های باد مختلف.

لامبدا در ضریب توان بیشینه	سرعت باد (m/s) ضریب توان بیشینه	
۴,۵۳۲۳	۰,۲۲۰۲	۸
۵,۷۱۰۷	۰,۲۷۲	۹
۷,۱۶۱	۰,۳۲۸۹	۱۰
۸,۷۰۲	۰,۳۹۰۹	۱۱
۱۰,۳۳۳۶	۰,۴۵۸۲	۱۲
۱۲,۱۴۶۵	۰,۵۳۰۶	۱۳

جدول ۸. ضریب توان بیشینه برای تصحیح برتون و با فرض اثر تقام ضریب اصلاح نوک پره و توبی پرانتل برای سرعت‌های باد مختلف.

لامبدا در ضریب توان بیشینه	سرعت باد (m/s) ضریب توان بیشینه	
۴,۰۷۹	۰,۱۸۷۴	۸
۵,۲۵۷۴	۰,۲۳۱۴	۹
۶,۵۲۶۵	۰,۲۷۹۷	۱۰
۷,۸۸۶۱	۰,۳۳۲۳	۱۱
۹,۴۲۷۱	۰,۳۸۹۳	۱۲
۱۱,۰۵۸۷	۰,۴۵۰۶	۱۳

جدول ۹. نقطه‌ی طراحی توربین طراحی شده.

مشخصه	مقدار
سرعت جریان باد (متر بر ثانیه)	۱۰,۸۴۵
تعداد پره	۳
ضریب توان	۰,۳۸۱۳
لامبدا	۷,۸۷۶
سرعت دورانی (دور بر دقیقه)	۹۶

#### ۴. مطالعه‌ی پارامتری بر حسب طول بی بعد پره

چنان که مطرح شد، سیستم جاذب انرژی باد اینولوکس توانایی قابل توجهی در افزایش راندمان جذب انرژی از جریان باد دارد و می‌تواند حدوداً ۶۶ درصد سرعت جریان باد آزاد را افزایش دهد. با افزایش سرعت جریان بادی که به پره‌های توربین تأمین می‌شود، مقادیر پارامترهای آبرویدینامیکی توربین باد دستخوش تغییر خواهد شد. برای بررسی تغییرات این پارامترها، که ناشی از افزایش سرعت چشمگیر جریان باد است، که یک لامبدا مشخص است، لازم است که یک لامبدا مشخص برای بررسی پارامترهای آبرویدینامیکی مختلف در امتداد طول بی بعد پره مشخص شود. بهتر است که این لامبدا همان لامبدا مربوط به نقطه طراحی بیشنه باشد تا نتایج خروجی را بتوان از نظر کیفی مورد بررسی دقیق تر قرار داد. جدول ۹ اطلاعات مربوط به نقطه طراحی توربین بادی طراحی شده در کار حاضر را نشان می‌دهد.

با مشخص بودن نقطه‌ی بیشنه‌ی طراحی، می‌توان نمودار پارامترهای مختلف در

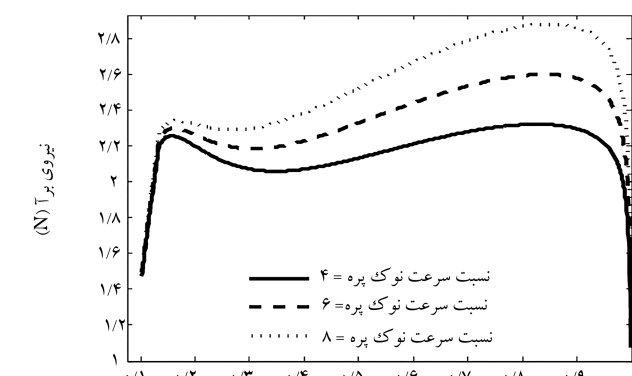
## ۵. نتیجه‌گیری

در این مقاله با استفاده از هر دو روش حل عددی و حل تحلیلی به بررسی پارامتری سیستم جاذب انرژی اینولوکس پرداخته شد. در حقیقت با ایجاد یک جفت سازی خارج از خط (کوبینگ آفلاین)، از خروجی‌های حل عددی به مظور ورودی‌های نظریه‌ی BIM استفاده شد. در ادامه نیز با احتساب هندسه سیستم جاذب انرژی باد اینولوکس مبتنا و با اعمال ضرایب اصلاح نوک پره و توپی پرانتل و نیز ضریب تصحیح دنباله آشفته گلواارت، یک توربین باد مناسب جهت فراگیری در بخش ونتوری این سیستم، طراحی شد. مهم‌ترین نتایج استخراج شده از پژوهش حاضر عبارت‌اند از:

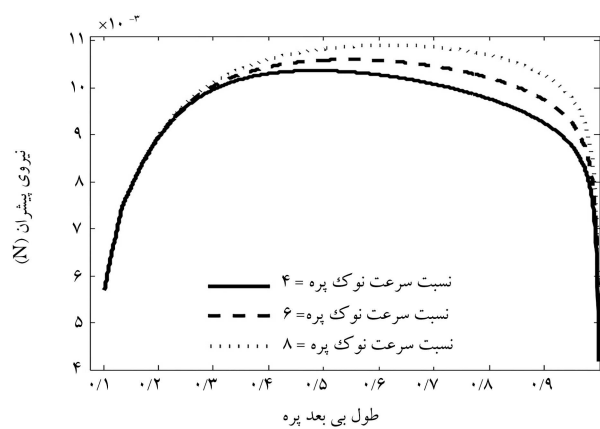
- هر دو بستر حل عددی و تحلیلی انتخابی توافق قابل توجهی با نتایج پیشین داشته و از این رو نتایج به دست آمده قابل انکا خواهد بود؛
- با استفاده از تحلیل عددی و سه‌بعدی سیستم اینولوکس به دست آمد که سیستم اینولوکس قادر است حدوداً به میزان ۶۶ درصد سرعت جریان باد آزاد را افزایش داده و جریان با سرعت بیشتری را به پره‌های توربین باد مستقر شده در بخش ونتوری تحویل دهد؛
- در بخش تحلیلی و برای اعتبارسنجی کد نظریه‌ی BIM از ضریب تصحیح دنباله آشفته گلواارت استفاده شده. به منظور مقایسه‌ی سایر ضرایب تصحیح با ضریب تصحیح گلواارت و برتون صورت گرفت. نتایج نشان می‌دهد که تصحیح برتون به نسبت تصحیح گلواارت محافظه کارانه‌تر عمل کرده و نتایج کمتری از آن برای ضریب توان به دست می‌آید؛ به این صورت که تصحیح برتون در شرایط مشابه ضریب توان و لامبایدی متناظر آن را به ترتیب  $0,878$  و  $0,913$  برابر کمتر پیش‌بینی می‌کند.

## نمادها

- A*: مساحت (متر مربع)؛  
*F*: ضریب اتفاف پرانتل؛  
*a*: ضریب القابی محوری؛  
*a'*: ضریب القابی مماسی؛  
*C<sub>L</sub>*: ضریب برآ؛  
*C<sub>D</sub>*: ضریب پسا؛  
 $(C_L/C_D)_{\max}$ : نسبت ضریب برآ به پسا بیشینه؛  
*C<sub>P</sub>*: ضریب توان؛  
*L*: نیروی برآ (نیوتون)؛  
*D*: نیروی پسا (نیوتون)؛  
*P*: توان (وات)؛  
*T*: نیروی محوری (نیوتون)؛  
*Q*: گشتاور (نیوتون متر)؛  
*U*: سرعت سیال (متر بر ثانیه)؛  
*R*: شعاع روتور (متر)؛  
 $r$ : شعاع محلی (متر)؛  
 $C(r)$ : توزیع وتر در راستای پره (متر)؛



شکل ۱۸. نیروی برآ در راستای پره برای لامبایداهای مختلف.



شکل ۱۹. نیروی پیشران در راستای پره برای لامبایداهای مختلف.

می‌شود. نقاط ابتدایی پره در محدوده‌ی استال قرار دارند، بنابراین دور از انتظار نیست که در این نقاط نسبت به نقاط انتهایی پره نیروی برآ کمتر باشد. مشاهده می‌شود که در ابتدا روند نمودار صعودی است تا این که نمودار در شعاع  $0,1445$  متر به بیشینه‌ی موضعی می‌رسد. مقدار نیروی برآ در این نقطه برابر  $2,29$  نیوتون است. سپس نیروی برآ به عمل تغییر در روند تغییرات وتر و افزایش احتمال وقوع استال، کاهش یافته و در شعاع  $0,2797$  به کمترین مقدار خود می‌رسد. که در آن نیروی برآ برابر  $2,165$  نیوتون است. در ادامه نمودار روند صعودی به خود گرفته و در شعاع  $0,7537$  متر به بیشینه‌ی مقدار خود یعنی  $2,552$  نیوتون می‌رسد. انتظار می‌رود که نقاط ابتدایی پره در محدوده استال قرار داشته باشند، بنابراین در این نقاط نسبت به نقاط انتهایی پره نیروی پسا بیشتر و نیروی برآ کمتر است.

شکل ۱۹ نمودار نیروی پیشران را در راستای پره برای لامبایداهای مختلف ( $4, 6$  و  $8$ ) ارائه می‌کند. در ابتدا دیده می‌شود که نیروی پیشران صعودی است و این صعود با شبیه نسبتاً تندی صورت می‌گیرد که به دلیل افزایش طول وتر در نقاط ابتدایی هر پره است. نیروی پیشران پس از رسیدن به مقدار  $1,0$  نیوتون در شعاع بی بعد  $0,5056$ ، چار کاهش می‌شود. تغییر روند نیروی پیشران را می‌توان به تغییر روند توزیع وتر و کاهشی شدن آن نسبت داد. با انتگرال‌گیری از رابطه‌ی  $8$  می‌توان مقدار کل نیروی پیشران روتور را در هر لامبایدی محاسبه کرد. مثلاً در نقطه‌ی بیشینه‌ی طراحی، مقدار نیروی پیشران توربین باد طراحی شده با فرض  $3$  پره،  $21,912$  نیوتون به دست می‌آید.

$\theta_{opt}$ : زاویه‌ی پیچش بهینه (درجه):	$\lambda$ : نسبت سرعت نوک پره:
$\phi$ : زاویه جریان (درجه):	$R_{hub}$ : شعاع توبی (متر):
$\rho$ : چگالی (کیلوگرم بر متر مکعب):	$Re$ : عدد رینولدز:
$\eta$ : بازده:	$B$ : تعداد پره:
$\sigma$ : ضریب استحکام یا صلبیت:	$\alpha$ : زاویه‌ی حمله (درجه):
$\omega$ : سرعت دورانی روتور (دور بر دقیقه).	$\theta$ : زاویه‌ی پیچش (درجه):

## منابع (References)

- Rezaey, S. "Numerical investigation of a globe control valve and estimating its loss coefficient at different opening states", *European Journal of Computational Mechanics*, **29**(4-6), pp. 549-576 (2021). DOI: <https://doi.org/10.13052/ejcm1779-7179.294610>.
- Allaei, D. and Andreopoulos, Y. "INVELOX: a new concept in wind Energy harvesting, *Proceeding of ASME 2013 7th International Conference on energy Sustainability & 11th Fuel Cell Science, Engineering and Technology Conference ES-Fuel Cell*, pp. 14-19 (2013).
- Allaei, D. and Andreopoulos, Y. "INVELOX: description of a new concept in wind power and its performance evaluation", *Energy*, **69**, pp. 336-344 (2014).
- Allaei, D., Tarnowski, D. and Andreopoulos, Y. "INVELOX with multiple wind turbine generator systems", *Energy*, **93**, pp. 1030-1040 (2015).
- Sedaghat, A., Waked, A., Assad, H. and et al. Anahysis of accelerating devices for enclosure wind turbines. *Int. J. Astronaut. Aeronaut. Eng.*, **2**(9), pp.9-23 (2017).
- Patil, M.N, Ghadage, S.M., Gaikwad, O.R. and et al. Design and Fabrication of Invelox, *International Research Journal of Engineering and Technology (IRJET)*, **6**(6), pp.765-768 (2019).
- Akour, S.N. and Bataineh, H.O. "Design considerations of wind funnel concentrator for low wind speed regions", *AIMS Energy*, **7**, pp. 728-742 (2019).
- Solanki, A.L., Kayasth, B.D. and Bhatt, H. "Design modification & analysis for venturi section of INVELOX system to maximize power using multiple wind turbine", *Int J Innovat Res Sci Technol*, **3**, pp. 125-127 (2017).
- Glauert, H. "The analysis of experimental results in the windmill brake and vortex ring states of an airscrew", HM Stationery Office (1926).
- Hsiao, F.-B., Bai, C.-J. and Chong, W.-T. "The performance test of three different horizontal axis wind turbine (HAWT) blade shapes using experimental and numerical methods", *Energies*, **6** pp. 2784-2803 (2013).
- Karimian Aliabadi, S. and Rasekh, S. "Effect of platform disturbance on the performance of offshore wind turbine under pitch control", *Wind Energy*, **23**, pp. 1210-1230 (2020).
- Karimian, S. and Rasekh, S. "Power and noise performance assessment of a variable pitch vertical axis darrieus type wind turbine", *Journal of the Brazilian Society of Mechanical Sciences and Engineering*, **43**, pp. 1-21 (2021).
- Asghari, M., Karimian Aliabadi, S. and Hashemi, M. "Study the effect of suction flow control on the aerodynamic performance of a wind turbine using 2D section numerical results", *Sharif Journal of Mechanical Engineering*, **37** pp. 79-89 (2021).
- Tahani, M., Kavari, G., Masdari, M. and et al. "Aerodynamic design of horizontal axis wind turbine with innovative local linearization of chord and twist distributions", *Energy*, **131**, pp. 78-91 (2017).
- Branlard, E., *Wind Turbine Aerodynamics and Vorticity-Based Methods: Fundamentals and Recent Applications*, Springer (2017).
- Manwell, J.F., McGowan, J.G. and Rogers, A.L., *Wind Energy Explained: Theory, Design and Application*, John Wiley & Sons (2010).
- Burton, T., Jenkins, N., Sharpe, D. and et al., *Wind Energy Handbook*, John Wiley & Sons (2011).
- SnehalNarendrabhai, P. and Desmukh, T. "Numerical simulation of flow through INVELOX wind turbine system", *International Journal of Renewable Energy Research*, **8**, pp. 291-301 (2018).
- Tangler, J.L. and Somers, D.M. "NREL airfoil families for HAWTs", National Renewable Energy Lab., Golden, CO (United States) (1995).
- <http://airfoilttools.com/airfoil/details>.